

**СРАВНЕНИЕ РАСЧЕТНЫХ И ЭКСПЕРИМЕНТАЛЬНЫХ ДАННЫХ  
ПРИ МОДЕЛИРОВАНИИ РАЗЛЕТА ИСКРОВОГО ПРОБОЯ  
В ВОЗДУХЕ НА ЭВМ**

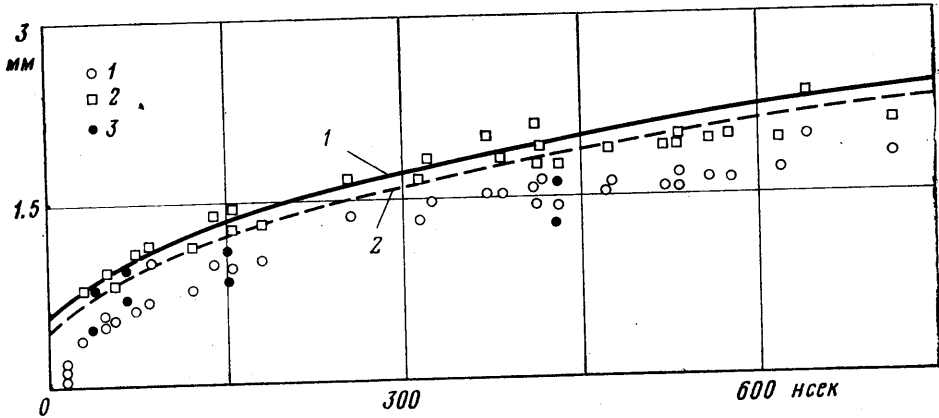
Н. А. АРХАНГЕЛЬСКИЙ

(Москва)

Проводится сравнение расчетных данных, полученных ранее на ЭВМ при моделировании разлета искрового пробоя в воздухе, с данными физического эксперимента.

В [1] приведены расчетные данные газодинамической модели двумерной задачи о распространении искрового пробоя в воздухе. Ниже проводится сравнение их с данными эксперимента [2].

Первоначальный объем нагретой массы газа  $V = \frac{1}{6} [\pi l_0^3 \sin^2 \alpha (2 - \sin^2 \alpha)]$ , где  $\alpha$  — половина угла фокусировки, а начальная энергия, сосредоточенная в этом объеме,



Фиг. 1

$E_1 = P_1 V / (\gamma_1 - 1)$ ,  $P_1$  — значение размерного давления. Если исключить  $V$  из этих соотношений, то найдем, что характеристическая «длина» искры есть

$$l_0 = \left[ \frac{6(\gamma_1 - 1) E_1}{\pi P_1 \sin^2 \alpha (2 - \sin^2 \alpha)} \right]^{\frac{1}{3}}, \quad \gamma_1 = 1.24$$

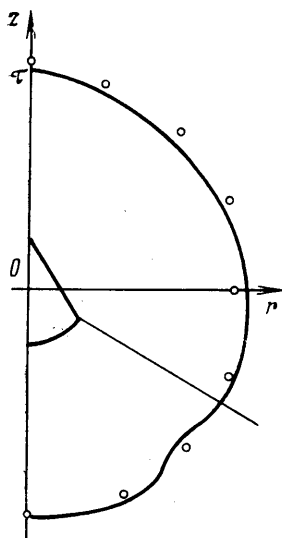
Выберем систему единиц, в которой в качестве основных взяты  $[F] = \kappa \Gamma$ ,  $[L] = \mu$ ,  $[T] = \text{сек}$ . Согласно [2],  $E_1 = 0.2 \text{ дж} = 0.2/9.81 \text{ кГм} = 0.0204 \text{ кГм}$ .

На фиг. 1 представлены данные, относящиеся к развитию малой (1) и большой (2) полуосей конического объема, наблюдавшиеся в [2]. Из рассмотрения фигуры следует, что вариант расчета [1], наилучшим образом соответствующий эксперименту, есть  $P_1 = 1000$ ,  $\rho_1 = 1.0$ ,  $\alpha = 30^\circ$ , где  $P_1$  и  $\rho_1$  — значения безразмерного давления и плотности внутри пробоя. При этом  $l_0$ , вычисленное по приведенной выше формуле, равно 1.29 мм, так как в начальный момент  $t=0$   $l_0/2=0.65$  мм, что неплохо согласуется с данными фиг. 1.

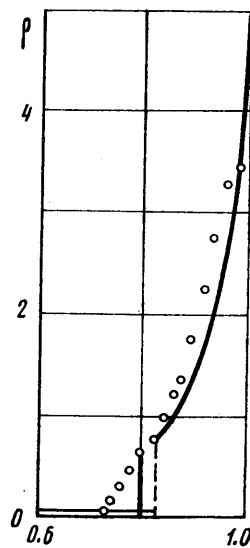
Так как безразмерное время  $\tau = t/t_0$ , где  $t_0 = l_0/\rho^*/P_\infty$ , то при  $P_\infty = 1 \text{ кГ/см}^2 = 10^4 \text{ кГ/m}^2$  и  $\rho^* = 0.0129 \text{ г/cm}^3 = 0.13 \text{ кГ\cdotсек}^2/\text{м}^4$  (стандартные условия) этому варианту расчета соответствует  $t_0 = 4.7 \cdot 10^{-6} \text{ сек} = 4.7 \cdot 10^3 \text{ нсек}$ . По расчетным данным [1] ту расчета соответствует  $t_0 = 4.7 \cdot 10^{-6} \text{ сек} = 4.7 \cdot 10^3 \text{ нсек}$ . По расчетным данным [1] были построены графики развития большой и малой полуосей как функции времени, для чего использовались соотношения  $l=Ll_0$ ,  $t=t_0$ , где  $L$  — безразмерная длина, значение которой вместе с  $t$  брались из расчета. Видно, что развитие большой полуоси (линия 1, фиг. 1) находится в хорошем согласовании с экспериментом, чего нельзя сказать о малой полуоси (линия 2). Это объясняется следующим.

Различие в расчетных и экспериментальных данных для значений малой полуоси видно уже при  $t \approx 0$ . Далее,  $E_1$  и  $l_0$  в расчете и эксперименте одинаковы, но значения  $\alpha$  и  $P_1$  нет: в расчете  $\alpha$  больше, следовательно, объем  $V(\alpha)$  больше, а поэтому  $P_1$  в расчете меньше. Разница между большой и малой полуосями как в

расчете, так и в эксперименте остается примерно постоянной. Это подтверждается и данными [3], где установлено, что разница между большой и малой полуосами слабо зависит от времени. Но тогда эта разница определяется главным образом ее значением в начальный момент  $t=0$ . Естественно, что при больших  $\alpha$  она меньше, чем при малых. Совпадение же расчетного движения большой полуоси с экспериментом целиком определяется одинакостью значений  $I_0$  и  $E_1$ . Отсюда же следует качественное согласие расчетных данных с [3] о постоянстве разницы в развитии большой и малой полуосей, что, в свою очередь, означает совпадение интенсивности ударной волны в направлении как большой, так и малой полуосей. В расчете [1] как раз и было установлено, что процесс выравнивания интенсивности ударной волны происходит чрезвычайно быстро, а следовательно, различие между осями



Фиг. 2



Фиг. 3

почти постоянно. Величина же этого различия определяется его значением в начальный момент, а также различием, «накопленным» в моменты времени, близкие к начальному, когда разница в интенсивностях различных участков ударной волны еще значительна.

На фиг. 2 изображено положение и форма ударной волны по данным расчета [1] при  $t=0.182$ ,  $p_1=1000$ ,  $\alpha=30^\circ$  (в силу симметрии изображена лишь половина картины). Здесь же нанесены данные [2]. Как видно, имеет место очень хорошее совпадение. Конечно, данные [2] не показывают прогиба ударной волны в области напротив угловой линии по лучу (на чертеже этот луч обозначен) — эффект, связанный с геометрической идеализацией и наблюдавшийся ранее в [4], где приведено его объяснение.

Однако размерное значение  $t$ , соответствующее этому положению ударной волны, здесь несколько меньше экспериментального. Объяснение этому, по-видимому, следующее: либо не слишком хорошее определение времени в [2], либо по-разному определен момент отсчета в эксперименте и в расчете (сведений о методике получения экспериментальных данных и о их точности в [2] нет). Наиболее вероятно, что имеет место первое утверждение. В пользу этого говорит следующее. На фиг. 1 нанесены расстояния (3) как функции времени, пройденные ударной волной и взятые из [1]. Видно, что при малых  $t$  эти расстояния согласуются с опытными данными (1 и 2), а при больших нет — большая полуось смещается в зону экспериментальных точек для малой полуоси. Это противоречие можно устранить лишь за счет занижения значений времени в [2].

На фиг. 3 дано распределение плотности за ударной волной вдоль оси конуса против направления падающего луча. Согласование, как видно, хорошее. Несколько хуже оно в области за контактной поверхностью (на фиг. 3 ее положению соответствует скачок плотности). Последнее объясняется тем, что в эксперименте температура за счет излучения падает быстрее, чем в расчете, а поэтому выравнивание градиентов за счет высоких скоростей возмущений происходит медленнее. К тому же неясно, насколько надежно может быть получено распределение плотности в эксперименте.

Таким образом, игнорирование процессов переноса излучения и относительно грубый учет изменения свойств воздуха при высоких температурах за счет выбора эффективного показателя адиабаты в [1] не привели к искажению картины развития пробоя в целом.

Пригодность газодинамической модели подтверждается полученными позднее результатами [5], где, в частности, показано, что даже на ранней стадии разлета пробоя движение фронта ударной волны совпадает с известным автомодельным законом. Л. И. Седова  $R_s(t) = [\alpha E_0^{1/2}/R_0]^{1/5}$ , а оценка первоначально вложенной энергии по этой формуле дает удовлетворительную точность в условиях разлета с сильным излучением.

Автор благодарит В. П. Коробейникова за предоставленные оригиналы фотографий [2].

Поступила 12 V 1978

#### ЛИТЕРАТУРА

1. Архангельский Н. А. К расчету течения, возникающего при искровом пробое в воздухе. Изв. АН СССР, МЖГ, 1975, № 3.
2. Panarella E. Laser induced explosions. National Research Counsil. Ottawa, Canada Rept., 1971.
3. Евтушенко Т. П., Малышев Г. М., Островская Г. В., Семенов В. В., Челидзе Т. Я. Исследование искры в воздухе с помощью двух синхронизированных лазеров. Ж. техн. физ. 1966, т. 36, 1115.
4. Шуршалов Л. В. Об одном классе двумерных нестационарных течений с ударными волнами. Изв. АН СССР, МЖГ, 1974, № 2.
5. Гольдин В. Я., Четверушкин В. Н. Исследование охлаждения и разлета сферической мишени, разогретой излучением лазера. М., 1974. (Препринт ИПМ АН СССР, № 95.)

УДК 536.2.02.536.46

#### РАСПРОСТРАНЕНИЕ ВОЛНЫ ГОРЕНИЯ В СРЕДЕ С НЕЛИНЕЙНОЙ ТЕПЛОПРОВОДНОСТЬЮ

А. С. ЛЕЙБЕНЗОН

(Москва)

В работе рассматривается задача о распространении тепловой волны, поддерживаемой экзотермической реакцией, в совершенном газе. Предполагается, что в результате нагрева вещества тепловой волной в среде начинается экзотермическая реакция. Так как тепловая волна может двигаться по холодному веществу с большой сверхзвуковой скоростью [1], то на начальной стадии процесса можно преенебречь движением вещества и изучать процесс распространения тепла по покоящейся среде. Аналогичные вопросы рассматривались также в работах [2]. Подробно вопрос о тепловых и гидродинамических процессах в одномерном плоском случае для несжатого вещества был рассмотрен в работе [4]. Эффекты взаимодействия нелинейной теплопроводности с источниками тепла рассматривались в работах [5, 6].

Распространение тепловой волны по покоящейся холодной среде, в которой могут происходить экзотермические реакции, описывается системой, состоящей из уравнения нелинейной теплопроводности и уравнения, описывающего изменение концентрации вещества в процессе реакции. Изучаются одномерные нестационарные движения с плоскими, осесимметричными и сферическими волнами. Учитываются потери энергии за счет тормозного излучения.

Основная система уравнений имеет вид

$$(1) \quad \begin{aligned} \rho \frac{\partial}{\partial t} \left( \frac{RT}{\gamma-1} + \beta Q \right) &= \frac{1}{r^v} \frac{\partial}{\partial r} \left( r^v \chi \frac{\partial T}{\partial r} \right) - A \rho^2 T^{\eta_2} \\ \frac{\partial \beta}{\partial t} &= - k_1 \beta^\alpha \rho^z T^s \exp \left( - \frac{E}{RT} \right) \end{aligned}$$

Здесь  $t$  — время,  $r$  — пространственная координата,  $\gamma$  — показатель адиабаты,  $v$  — показатель симметрии, равный 0, 1, 2 соответственно в плоском, осесимметричном и